

# METODI PER ODE

Note Title

2021-12-01

$$\begin{cases} y' = f(t, y) & t \in [a, b] \\ y(a) = y_0 \in \mathbb{R}^m \end{cases} \quad y: [a, b] \rightarrow \mathbb{R}^m$$

Metodo di Eulero esplicito:  $y_{n+1} = y_n + h \overset{\Phi(t_n, y_n)}{f(t_n, y_n)} \quad n=0, 1, \dots, N-1$

Metodo di Eulero implicito:  $y_{n+1} = y_n + h \overset{\Phi(t_{n+1}, y_{n+1})}{f(t_{n+1}, y_{n+1})}$

Metodo dei trapezi:  $y_{n+1} = y_n + \frac{h}{2} (f(t_n, y_n) + f(t_{n+1}, y_{n+1}))$

$$y_n \approx y(t_n) \quad t_0 = a, t_1, \dots, t_N = b \quad h = \frac{b-a}{N}$$

Metodo a un passo generico:  $y_{n+1} = y_n + h \Phi(t_n, y_n)$

Si dice consistente di ordine p se  $\frac{y(t_{n+1}) - y(t_n)}{h} - \Phi(t_n, y(t_n)) = O(h^p)$

Si dice convergente di ordine p se  $y(t_n) - y_n = O(h^p)$

Teo: sotto opportune condizioni, consistente di ordine p  $\Leftrightarrow$  convergente di ordine p.

Metodo di Eulero esplicito:  $y(t_{n+1}) = y(t_n + h) = y(t_n) + h \underbrace{f(t_n, y(t_n))}_{y'(t_n)} + O(h^2)$

$$\frac{y(t_{n+1}) - y(t_n)}{h} - \underbrace{f(t_n, y(t_n))}_{\Phi(t_n, y(t_n))} = O(h^1) \quad \text{consistente di ordine 1}$$

Metodo di Eulero implicito: sviluppo di Taylor in  $t_{n+1}$

$y(t_n) = y(t_{n+1} - h) = \dots$  calcolo analogo a quello precedente  
ci dice che il metodo è consistente di ordine  $p=1$ .

Metodo dei trapezi:

$$y(t_{n+1}) = y(t_n) + \int_{t_n}^{t_{n+1}} y'(t) dt = y(t_n) + h \left( \frac{1}{2} f(t_n, y(t_n)) + \frac{1}{2} f(t_{n+1}, y(t_{n+1})) \right) + \mathcal{O}(h^3)$$

$$\tau_n = \frac{y(t_{n+1}) - y(t_n)}{h} - \Phi(t_n, y(t_n)) = \frac{y(t_{n+1}) - y(t_n)}{h} - \frac{1}{2} (f(t_n, y(t_n)) - f(t_{n+1}, y(t_{n+1}))) = \mathcal{O}(h^2)$$

Come trovare metodi di ordine superiore?

RUNGE-KUTTA

Famiglia più diffusa di metodi a un passo: metodi di Runge-Kutta

$$y(t_{n+1}) = y(t_n) + h \Phi(\dots)$$

BUTCHER

Definiti tramite un insieme di coefficienti della tabella di Butcher

$$\begin{array}{c|cccc} c_1 & a_{11} & a_{12} & \dots & a_{1s} \\ c_2 & a_{21} & a_{22} & \dots & a_{2s} \\ \vdots & \vdots & \vdots & \dots & \vdots \\ c_s & a_{s1} & a_{s2} & \dots & a_{ss} \\ \hline & b_1 & b_2 & \dots & b_s \end{array}$$

$s =$  numero di stadi

$$y_{n+1} = y_n + h \underbrace{(b_1 k_1 + b_2 k_2 + \dots + b_s k_s)}_{\Phi(t_n, y_n)} \quad k_i = f\left(t_n + c_i h, y_n + h \left( \sum_{j=1}^s a_{ij} k_j \right)\right) \quad i=1, 2, \dots, s$$

Metodo di Eulero esplicito:  $\begin{array}{c|c} 0 & 0 \\ \hline 1 & 1 \end{array} \quad s=1$

$$k_1 = f(t_n + 0 \cdot h, y_n + h(0 \cdot k_1)) = f(t_n, y_n) \quad y_{n+1} = y_n + h f(t_n, y_n)$$

Metodo di Eulero implicito  $\begin{array}{c|c} 1 & 1 \\ \hline 1 & 1 \end{array} \quad s=1$

$$k_1 = f(t_n + h, y_n + h k_1) = f(t_{n+1}, y_{n+1})$$

$$y_{n+1} = y_n + h k_1, \quad \text{cioè} \\ y_{n+1} = y_n + h f(t_{n+1}, y_{n+1})$$

Metodo dei trapezi:

$$\begin{array}{c|cc} 0 & 0 & 0 \\ 1 & \frac{1}{2} & \frac{1}{2} \\ \hline & \frac{1}{2} & \frac{1}{2} \end{array} \quad s=2$$

$$k_1 = f(t_n + h \cdot 0, y_n + h(0 \cdot k_1 + 0 \cdot k_2)) = f(t_n, y_n) \quad \text{implicito}$$

$$k_2 = f(t_n + h \cdot 1, y_n + h(\frac{1}{2}k_1 + \frac{1}{2}k_2)) = f(t_{n+1}, y_n + h(\frac{1}{2}k_1 + \frac{1}{2}k_2))$$

$$y_{n+1} = y_n + h(\frac{1}{2}k_1 + \frac{1}{2}k_2) = y_n + h(\frac{1}{2}f(t_n, y_n) + \frac{1}{2}f(t_{n+1}, y_{n+1}))$$

In un metodo a  $s$  stadi, compiono  $s$  valutazioni della funzione  $f$ .

Nel calcolo di  $k_i = f(t + h c_i, y_i + h(a_{i1}k_1 + a_{i2}k_2 + \dots + a_{is}k_s))$ ,  
 $i = 1, \dots, s$

è possibile calcolare esplicitamente i  $k_i$  "in avanti",  $k_1, k_2, \dots, k_s$

se e solo se  $a_{ij} = 0$  quando  $j \geq i$ , cioè se la matrice

$$A = \begin{bmatrix} a_{11} & a_{12} & \dots & a_{1s} \\ a_{21} & a_{22} & \dots & a_{2s} \\ \vdots & \vdots & \ddots & \vdots \\ a_{s1} & a_{s2} & \dots & a_{ss} \end{bmatrix}$$

è triangolare inferiore con 0 sulla diagonale (strettamente triang. inf.).

Esempio: metodo con tableau di Butcher  $\rightarrow$

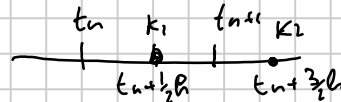
$c_1$	$\frac{1}{2}$	$\frac{1}{2}$	$0$	$A$
$c_2$	$\frac{3}{2}$	$-\frac{1}{2}$	$2$	
		$-\frac{1}{2}$	$\frac{3}{2}$	
		$b_1$	$b_2$	

$s=2$

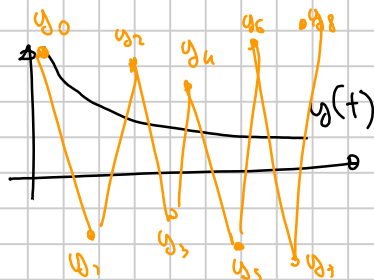
$$k_1 = f(t_n + h \cdot \frac{1}{2}, y_n + h(\frac{1}{2}k_1 + 0k_2)) \quad \leftarrow \text{definisce implicitamente } k_1$$

$$k_2 = f(t_n + h \cdot \frac{3}{2}, y_n + h(-\frac{1}{2}k_1 + 2k_2)) \quad \leftarrow \text{definisce implicitamente } k_2$$

$$y_{n+1} = y_n + h(-\frac{1}{2}k_1 + \frac{3}{2}k_2)$$



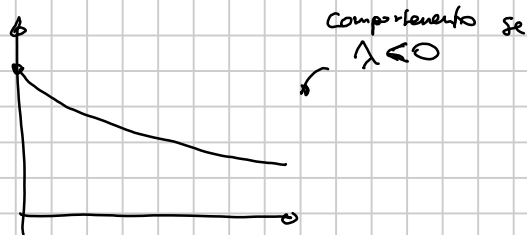
Su alcuni problemi, metodi come il metodo di Euler esplicito hanno un comportamento fortemente oscillatorio a meno che  $h$  sia molto piccolo



Studiamo il comportamento sul cosiddetto problema test

$$\begin{cases} y' = \lambda y & t \in [0, 1] \\ y(0) = 1 \end{cases} \quad f(t, y) = \lambda y$$

soluzione  $y(t) = e^{\lambda t}$



Metodo di Eulero esplicito per questo problema:

$$y_{n+1} = y_n + h\lambda y_n = (1+h\lambda)y_n = (1+h\lambda)^2 y_{n-1} = (1+h\lambda)^3 y_{n-2} = \dots = (1+h\lambda)^{n+1} y_0$$

$$y_n = (1+h\lambda)^n$$

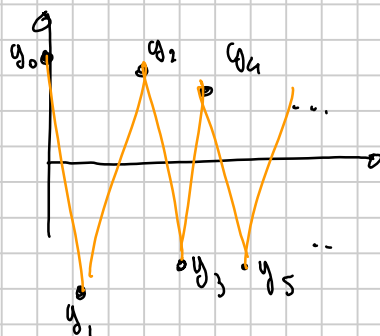
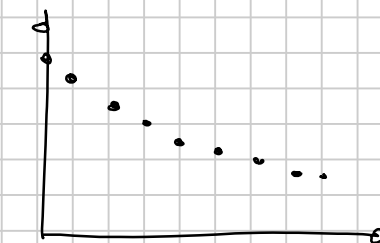
se  $1+h\lambda \in (0, 1)$

$$\approx \left(1 + \frac{\lambda}{N}\right)^N$$

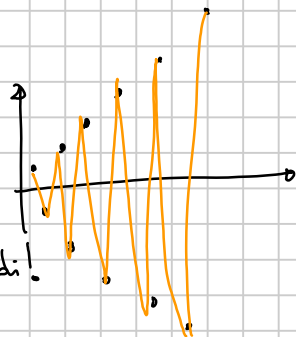
Quindi  $y_N = \left(1 + \frac{\lambda}{N}\right)^N$

converge a  $y(t) = e^{\lambda t}$

se  $1+h\lambda < 0$ ,



se  $(1+h\lambda) < -1$ ,



oscillazioni sempre più grandi!

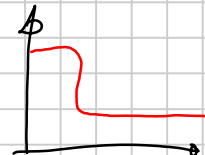
Se il passo  $h$  è sufficientemente piccolo da avere  $h\lambda \in (-1, 0)$ ,  $1+h\lambda \in (0, 1)$ , non lo questo comportamento.

Più piccolo è  $\lambda$ , più piccolo dovrà essere il passo scelto. (grande in val. abs.)

Equazioni STIFF (RIGIDE): equazioni differenziali in cui serve (con metodi come quello di Eulero esplicito) un passo molto piccolo per avere buone approssimazioni della soluzione.

Tipicamente, succede con:

- $y(t)$  che varia velocemente su alcuni intervalli



- fenomeni che avvengono a scale diverse

es.

$$\begin{bmatrix} y_1' \\ y_2' \end{bmatrix} = \begin{bmatrix} \lambda_1 y_1 \\ \lambda_2 y_2 \end{bmatrix}$$

$$y_1(t) = e^{\lambda_1 t}$$

$$y_2(t) = e^{\lambda_2 t}$$

Se  $\lambda_1 \ll \lambda_2 < 0$ ,

$\lambda$ , mi detta la scelta di  $h$ , ma  $\| \begin{bmatrix} y_1(t) \\ y_2(t) \end{bmatrix} \|$  è circa  $e^{\lambda t}$

•  $f(t, y) \approx Ay$ , con  $A$  mal condizionata

Alcuni metodi funzionano meglio di altri sui problemi stiff, in particolare i metodi impliciti.

Possiamo ripetere l'analisi fatta per il metodo di Eulero esplicito; per un metodo RK generico, otteniamo

$$y_{n+1} = R(q) y_n \quad q = \lambda h$$

$$y_n = (R(q))^n y_0 = (R(q))^n$$

se applichiamo un metodo di Runge-Kutta al problema test  $\begin{cases} y' = \lambda y \\ y(0) = 1 \end{cases}$

ES: metodo dei trapezi

$$y_{n+1} = y_n + h \left( \frac{1}{2} f(t_n, y_n) + \frac{1}{2} f(t_{n+1}, y_{n+1}) \right) = y_n + h \left( \frac{1}{2} \lambda y_n + \frac{1}{2} \lambda y_{n+1} \right)$$

$$\left(1 - \frac{1}{2} h \lambda\right) y_{n+1} = y_n + \frac{1}{2} h \lambda y_n \quad y_{n+1} = \frac{1 + \frac{1}{2} h \lambda}{1 - \frac{1}{2} h \lambda} y_n$$

$$R(q) \quad q = h \lambda$$

Vogliamo stabilire per quali valori di  $q$  si ha  $|R(q)| < 1 \Rightarrow y_n \rightarrow 0$  al crescere di  $n \Rightarrow$  le  $y_n$  tendono a 0.

Questo corrisponde al comportamento della soluzione esatta  $y(t) = e^{\lambda t}$  quando  $\operatorname{Re} \lambda < 0$

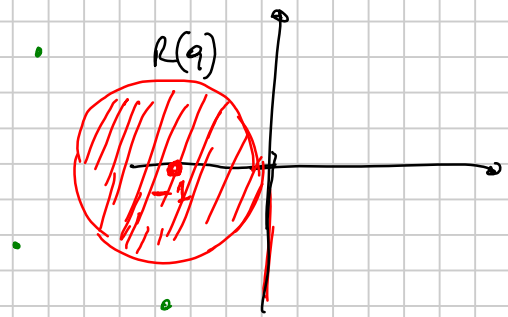
Definizione: la regione di assoluta stabilità di un metodo RK è l'insieme  $\{q \in \mathbb{C} : |R(q)| < 1\} = S_A$

Definizione: un metodo si dice A-stabile se  $S_A$  contiene tutto il semipiano sinistro  $\{q \in \mathbb{C} : \operatorname{Re} q < 0\}$ .

ES metodo di Eulero esplicito:  $R(q) = 1 + q \quad q = h \lambda$

$$S_A = \{q \in \mathbb{C} : |1+q| < 1\}$$

= cerchio di centro  $-1$   
e raggio  $1$ .



Il metodo di Eulero esplicito non

è A-stabile: esistono scelte di  $\lambda$  con  $\text{Re}(\lambda) < 0$  e del passo  $h$  tali che  $|R(q)| \geq 1 \Rightarrow$  la successione  $y_n$  non tende a zero, però la soluzione esatta  $y(t) = e^{\lambda t}$  tende a zero per  $t \rightarrow \infty$

ES metodo dei trapezi:  $R(q) = \frac{1+q}{1-q}$  ( $q = h\lambda$ )

$$S_A = \left\{ q \in \mathbb{C} : \frac{|1+q|}{|1-q|} < 1 \right\} =$$

$$= \{ q \in \mathbb{C} : \text{Re}(q) < 0 \}$$

$|1+q|$  = distanza fra  $q$  e  $-1$   
 $|1-q|$  = distanza fra  $q$  e  $1$

$\frac{|1+q|}{|1-q|} < 1$  se  $q$  è più vicino a  $-1$  che non a  $1$   
 $\Rightarrow q$  è nel semipiano negativo

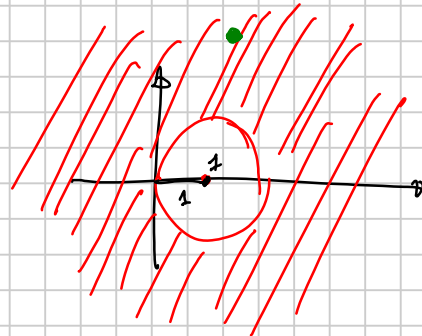


$\Rightarrow$  Il metodo dei trapezi è A-stabile (la sua regione di stabilità è esattamente il semipiano negativo)

$\Rightarrow$  la successione  $\{y_n\}$  tende a zero tutte le volte che la soluzione esatta  $y(t)$  tende a 0.

Metodo di Eulero implicito:

$R(A) =$  esterno del cerchio di centro  $1$  e raggio  $1$



$\Rightarrow$  metodo di Eulero implicito è A-stabile

(Anzi, è "troppo stabile": se  $\text{Re}(\lambda) > 0$ ,  $|y(t)| \rightarrow \infty$ ,  
ma  $|y_n| \rightarrow 0$ .)

Teo: non esistono metodi di Runge-Kutta espliciti A-stabili.

Motiva l'importanza di usare metodi impliciti anche se più complicati da implementare